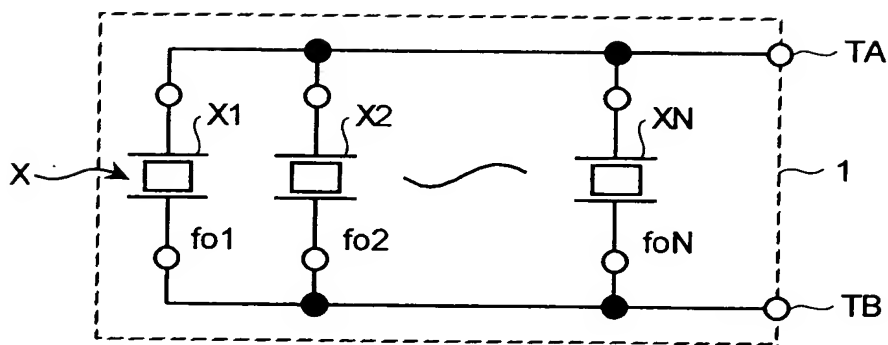


FIG. 1



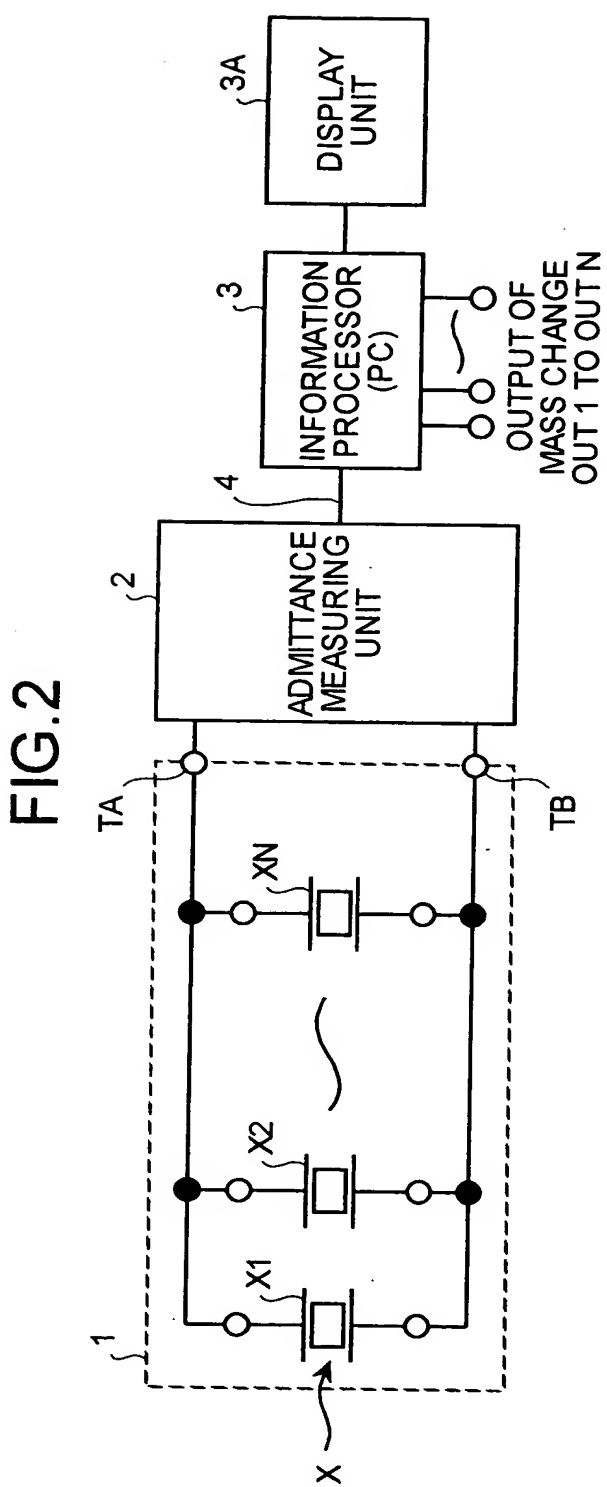


FIG.3

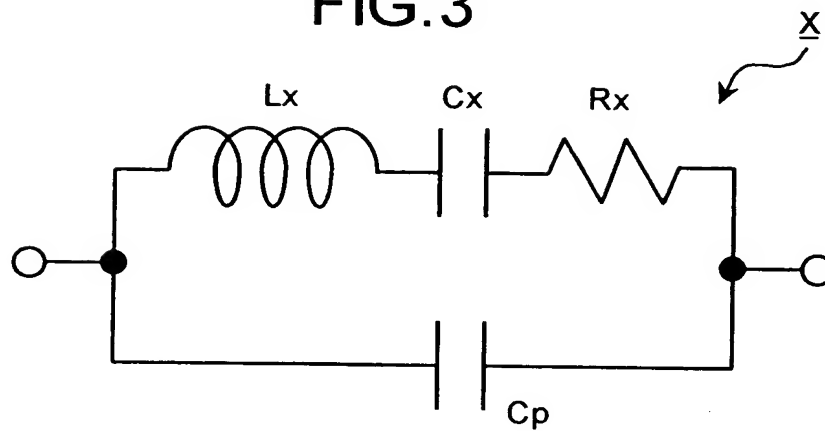


FIG. 4

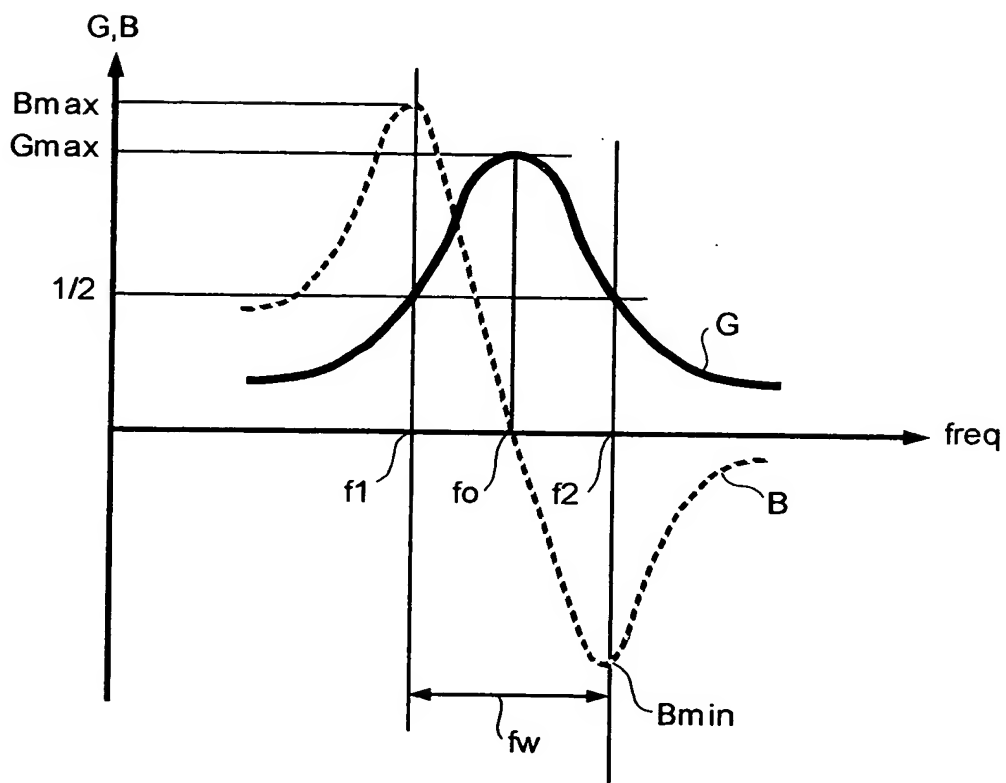


FIG.5

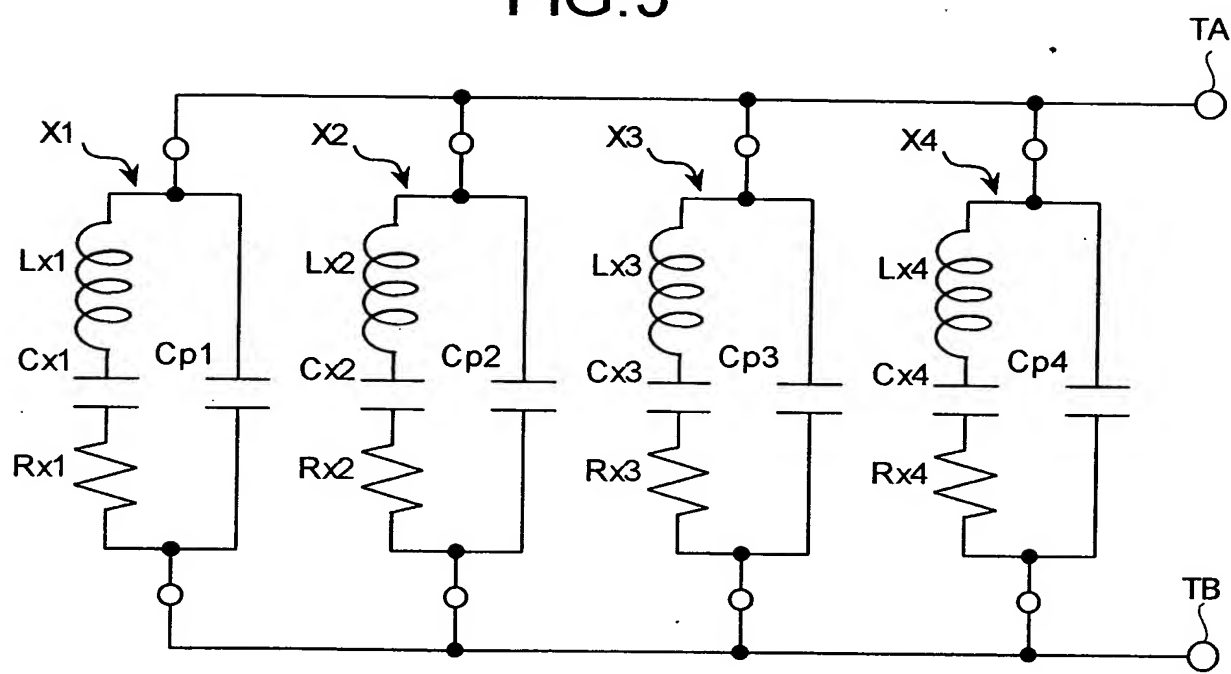
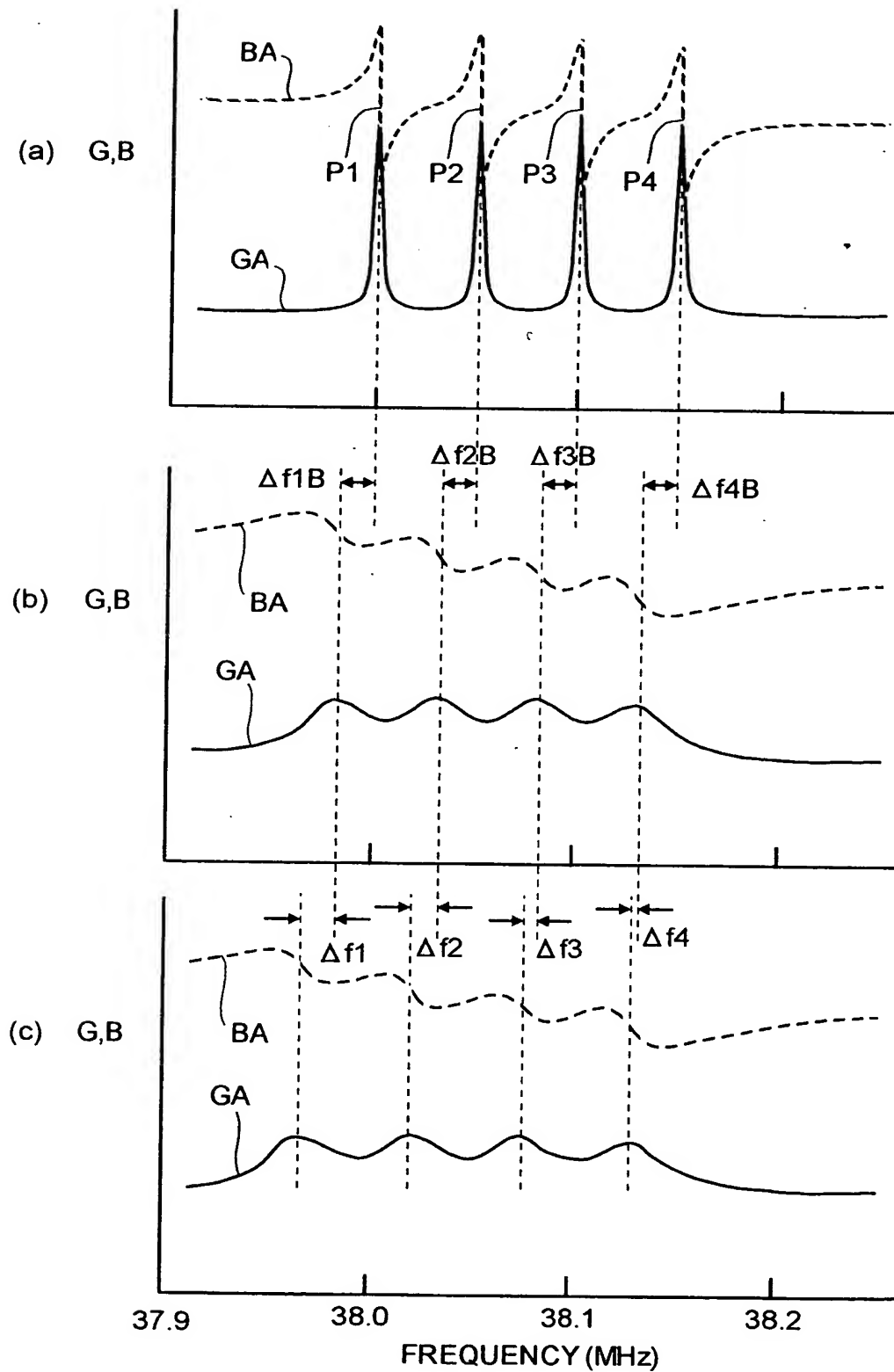


FIG.6



6/21

FIG.7

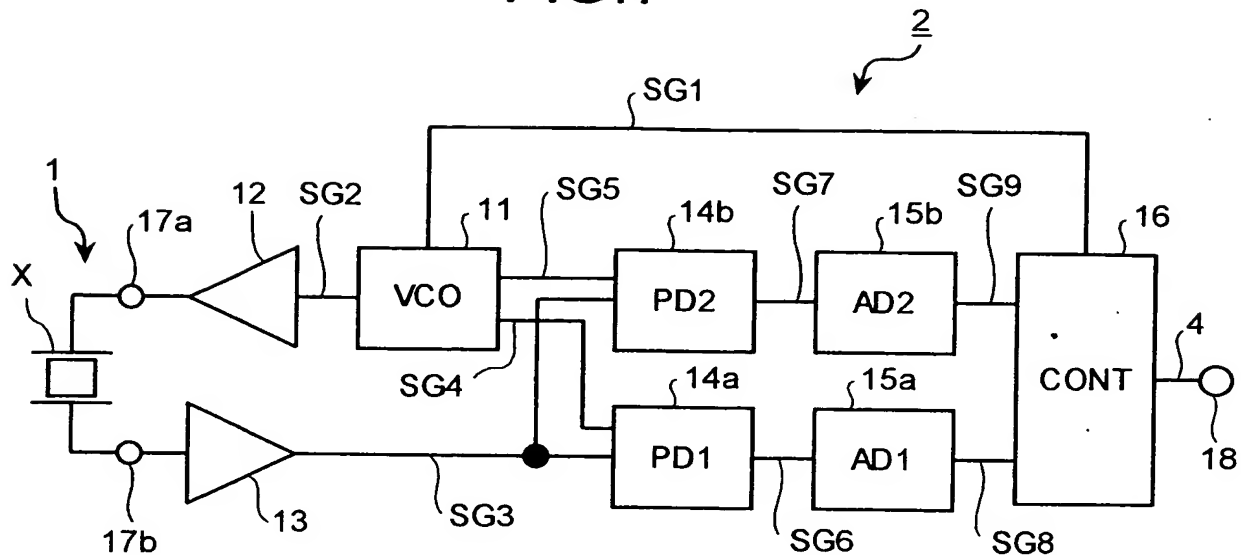


FIG.8

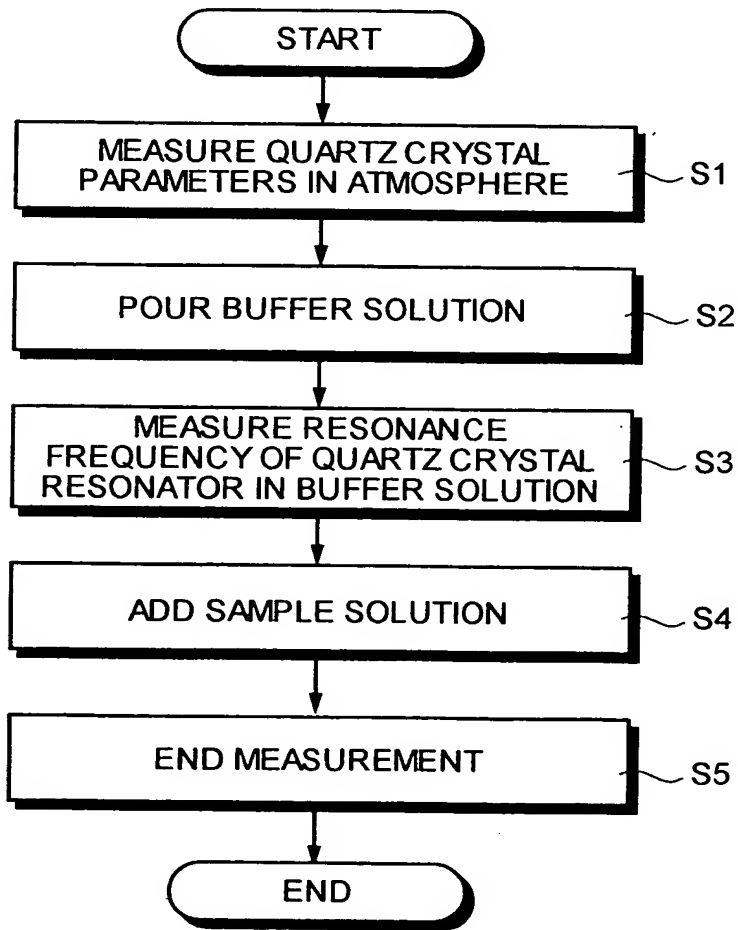


FIG. 9

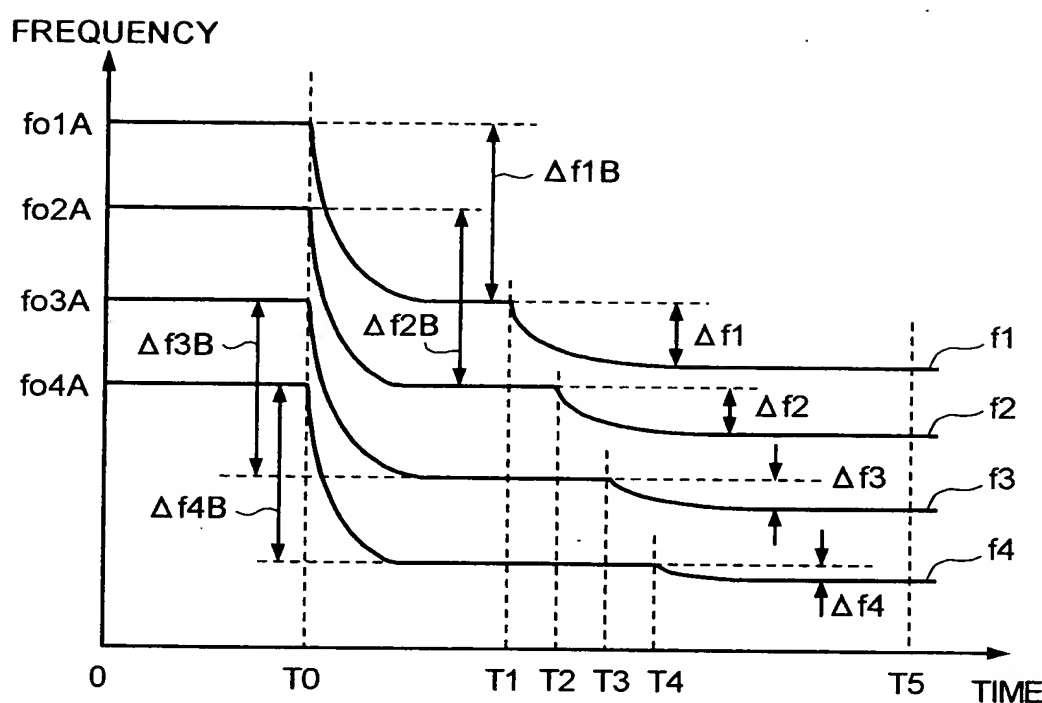


FIG.10

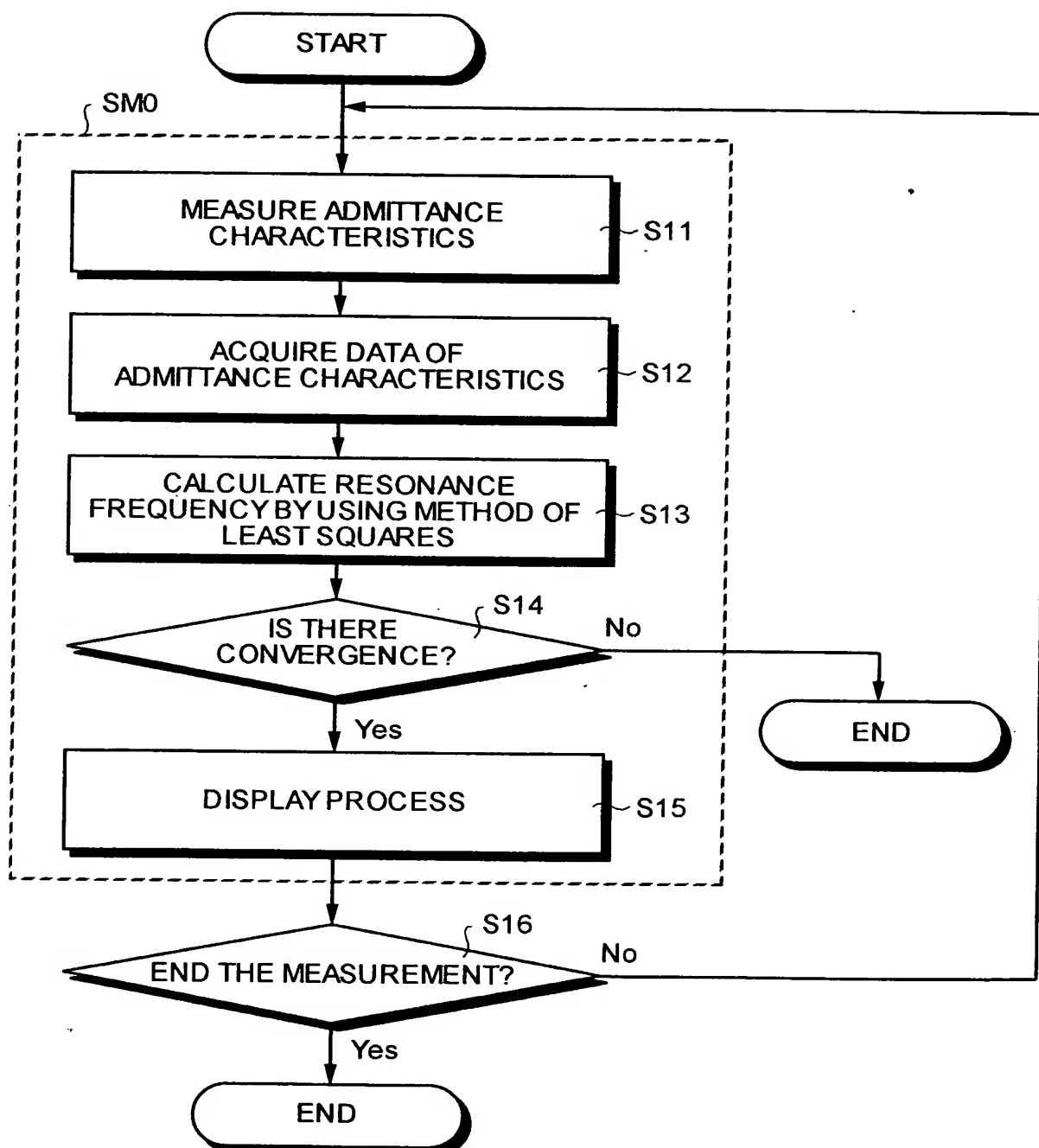
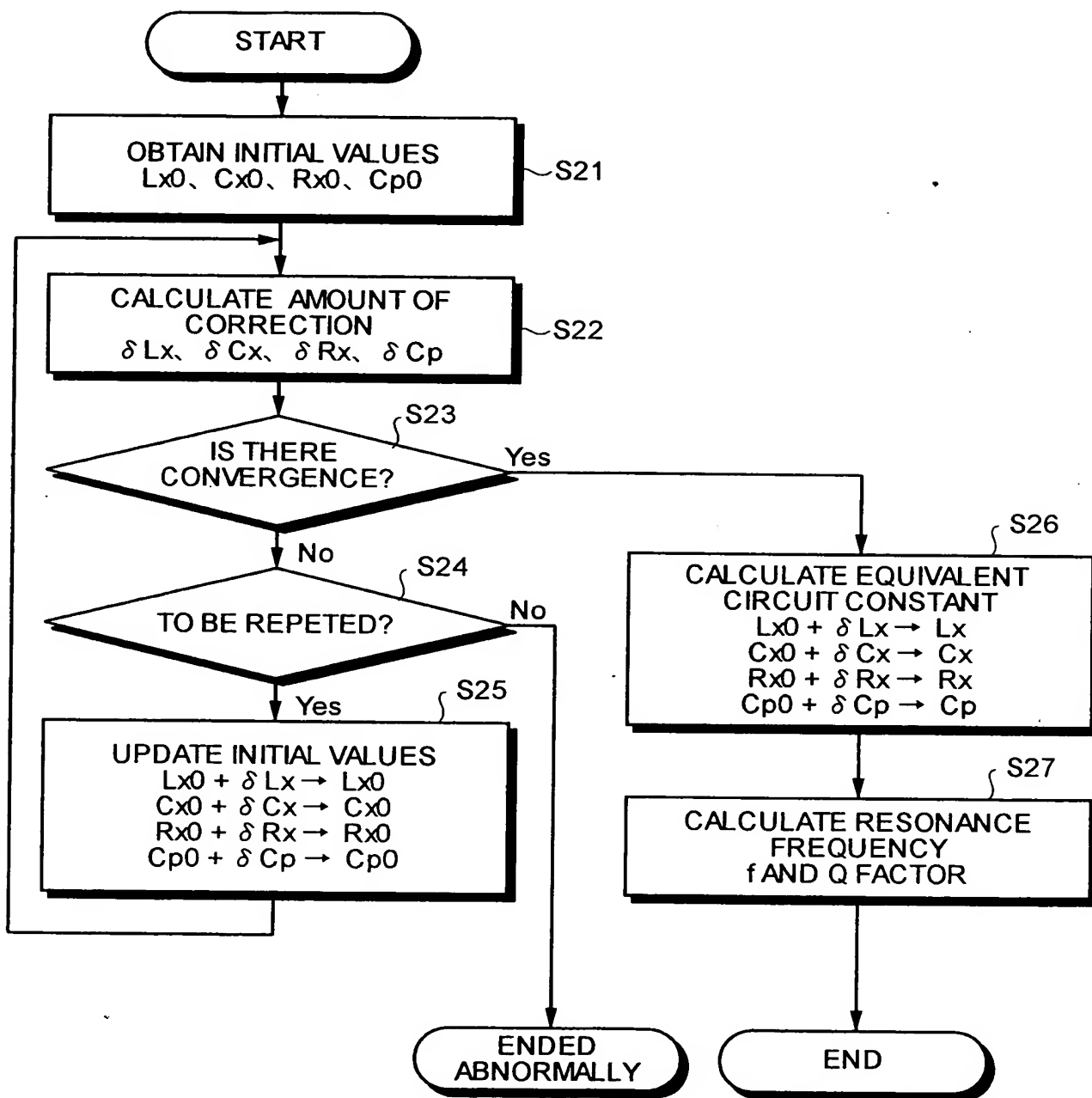


FIG.11



10/21

FIG. 12

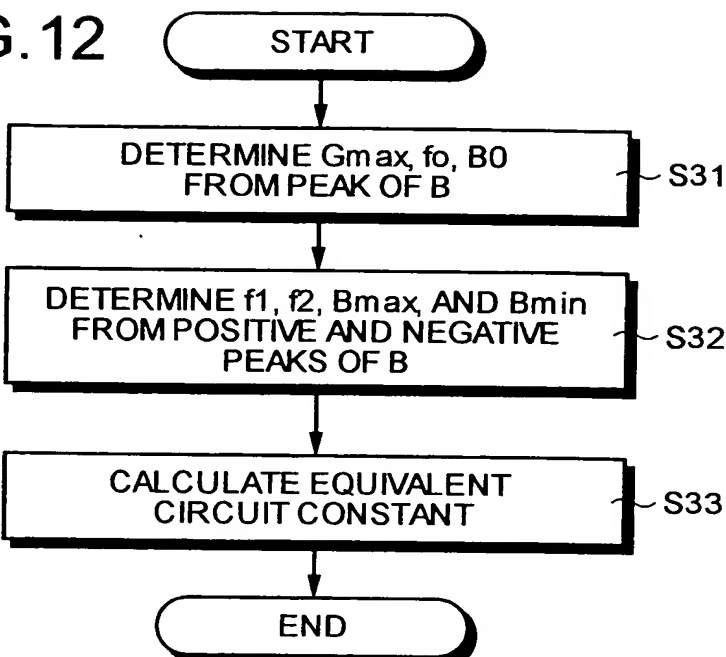
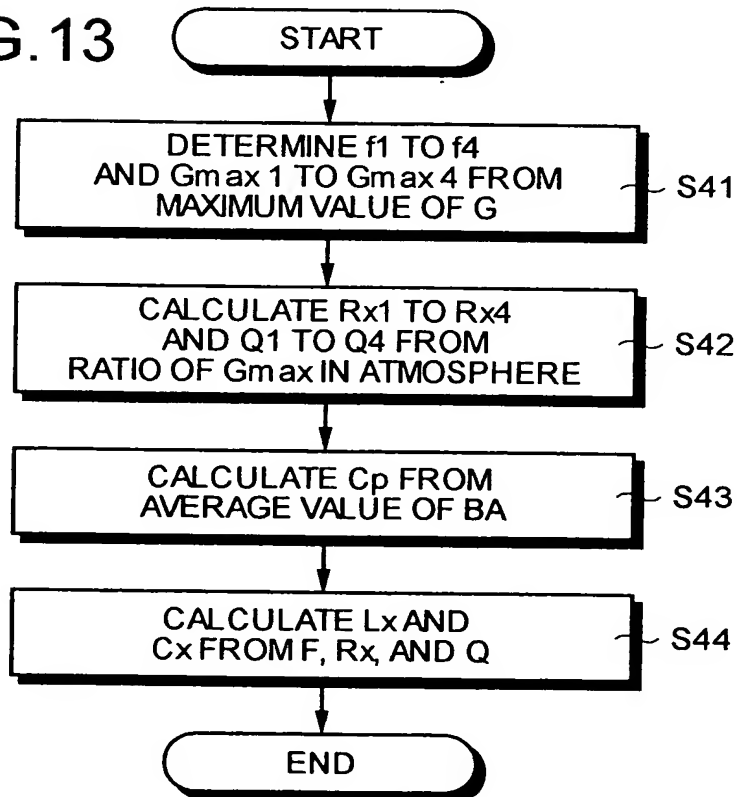


FIG. 13



11/21

FIG. 14

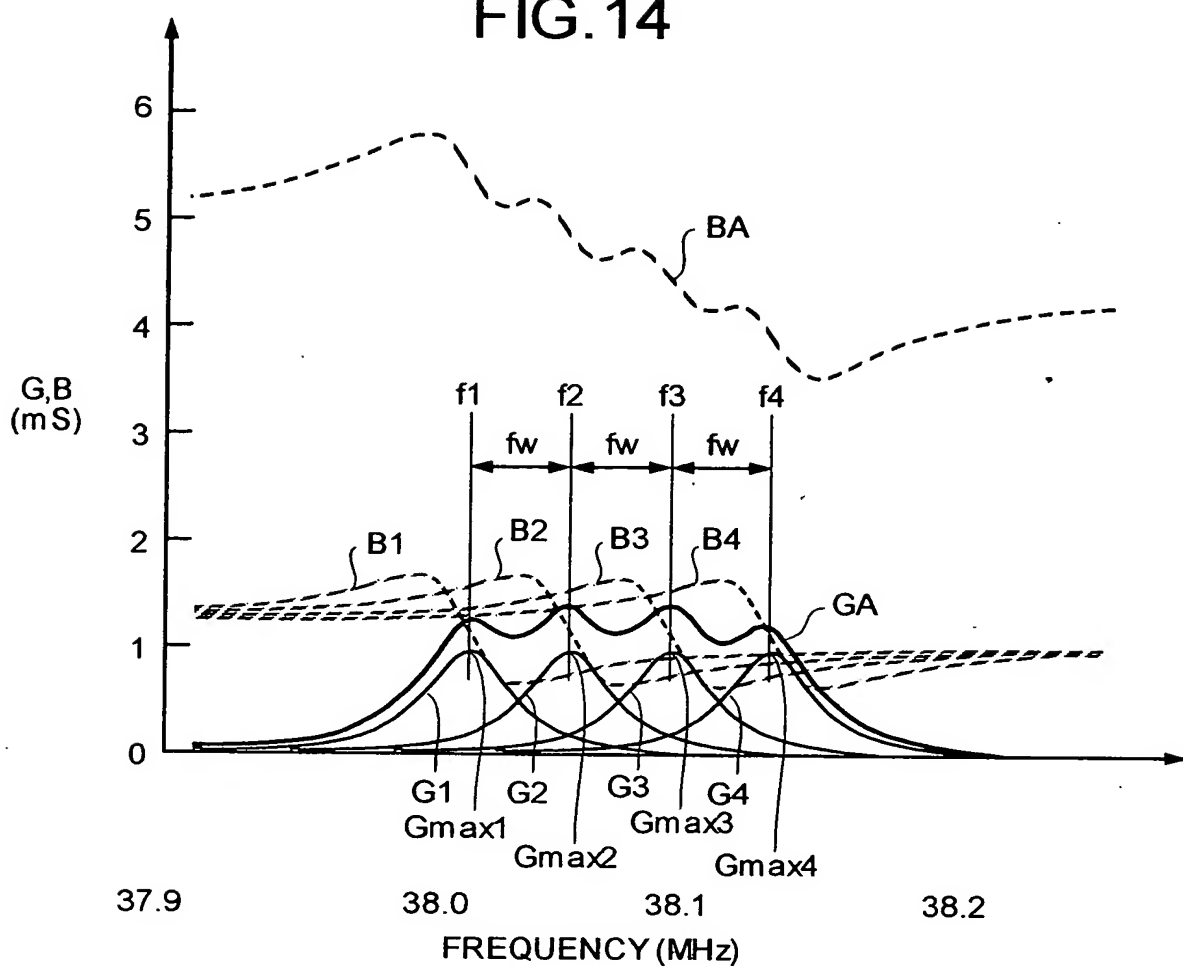


FIG. 15

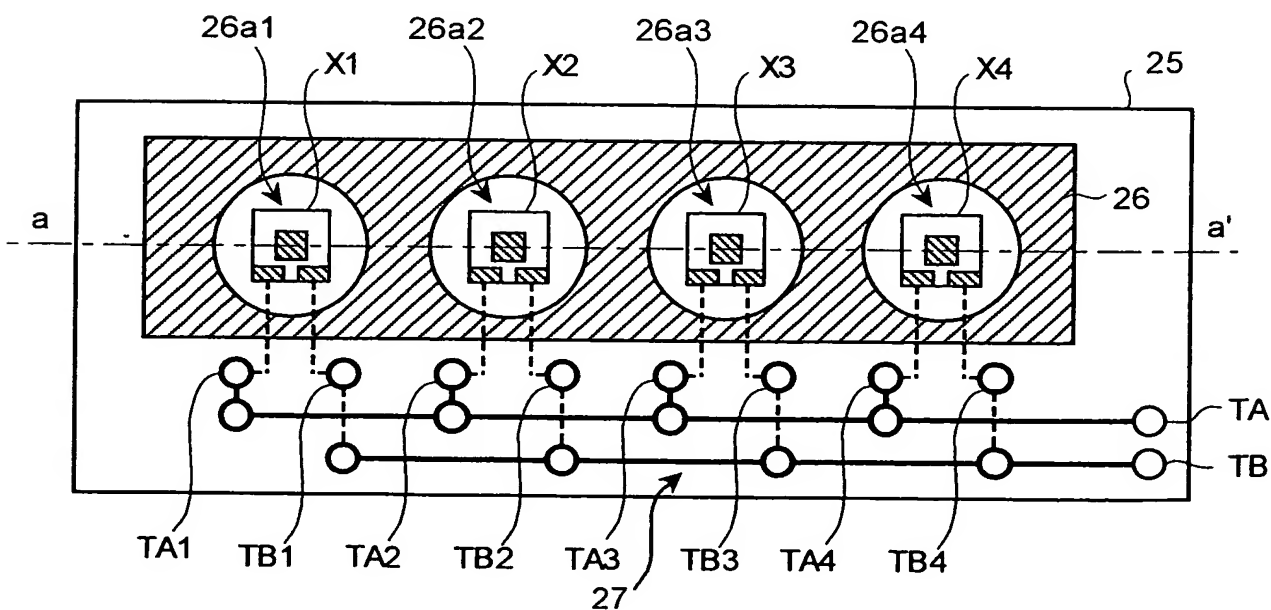


FIG. 16

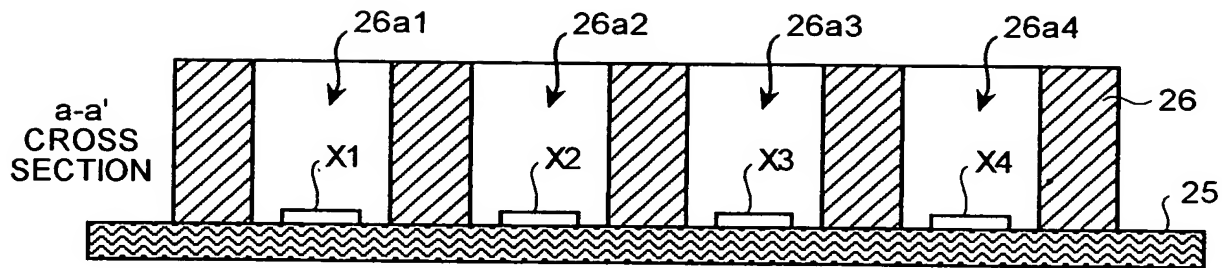
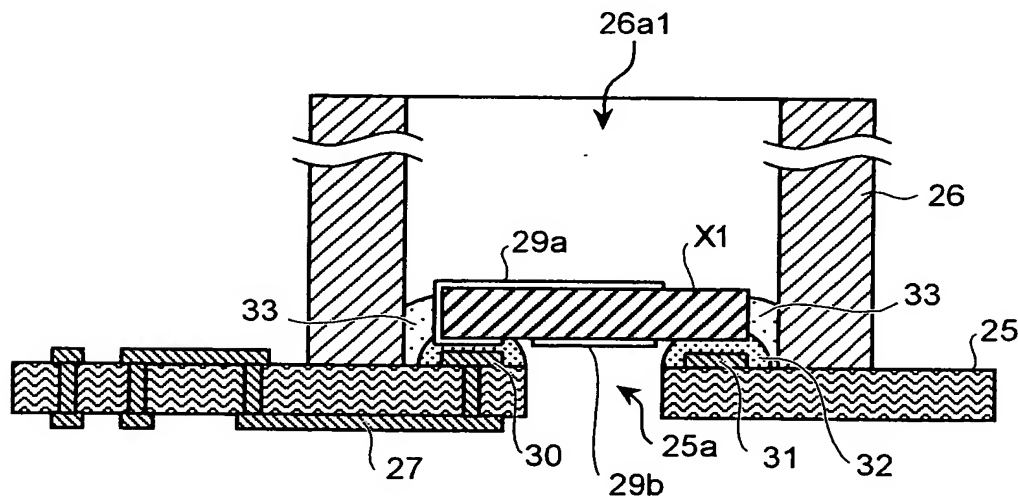


FIG. 17



13/21

FIG.18

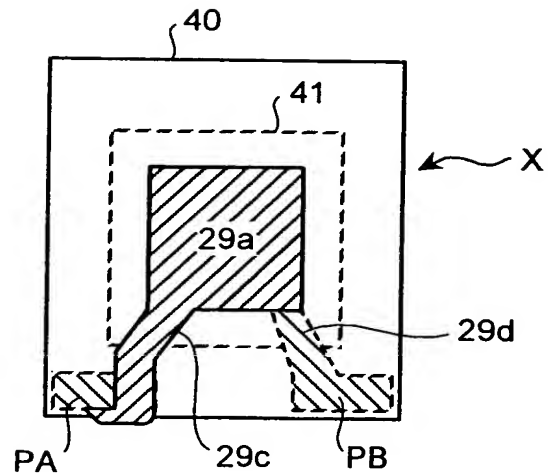


FIG.19

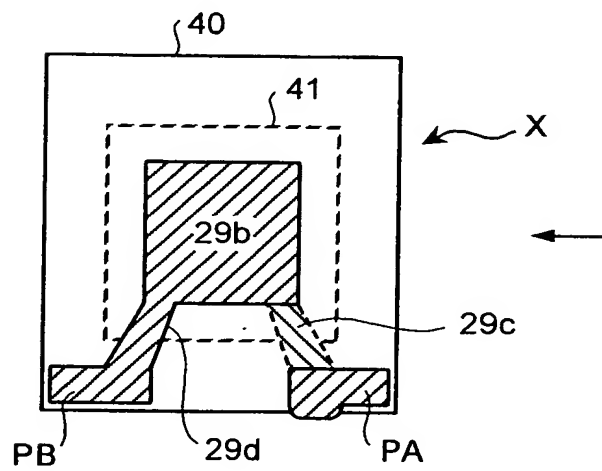


FIG.20

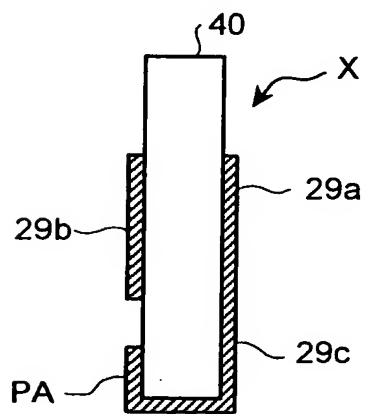


FIG.21

FREQUENCY

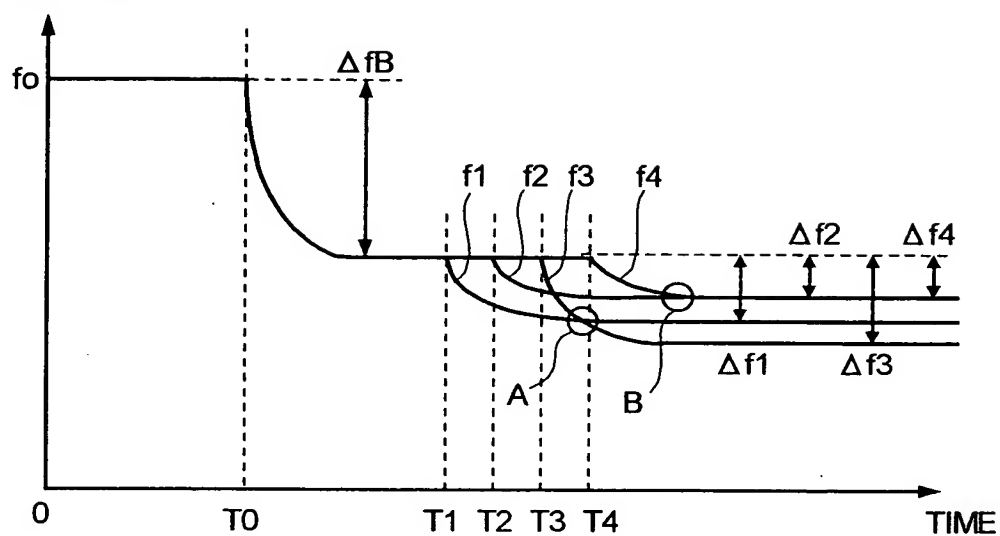


FIG.22

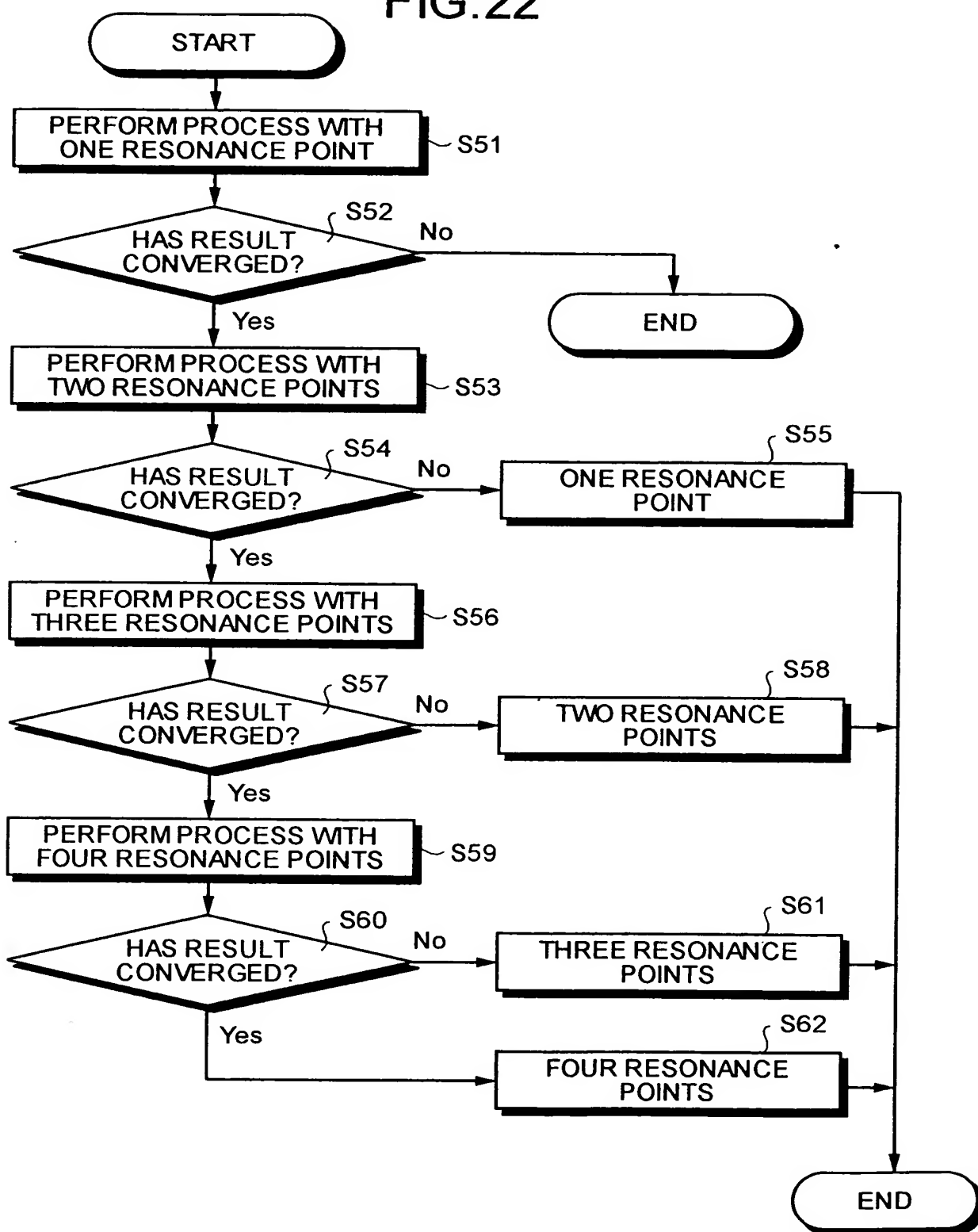


FIG.23

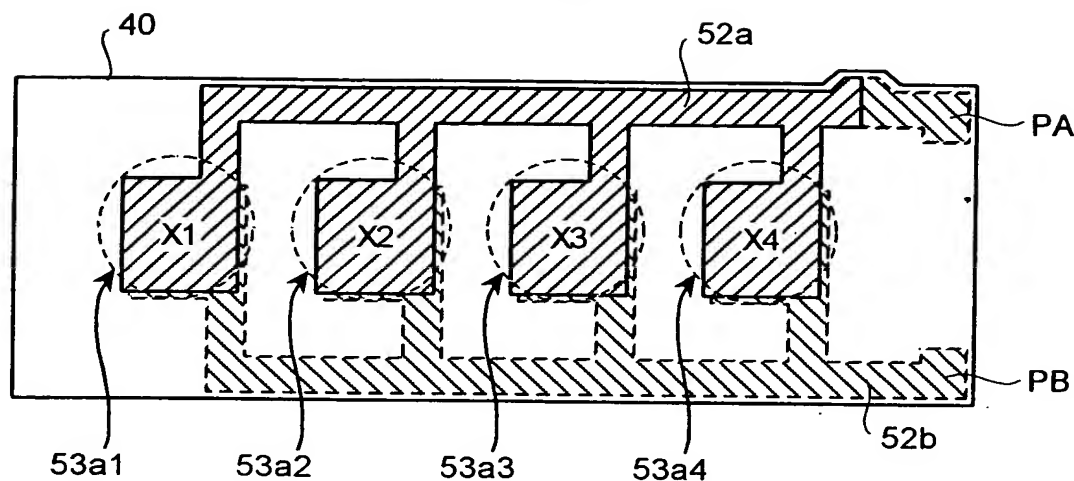


FIG.24

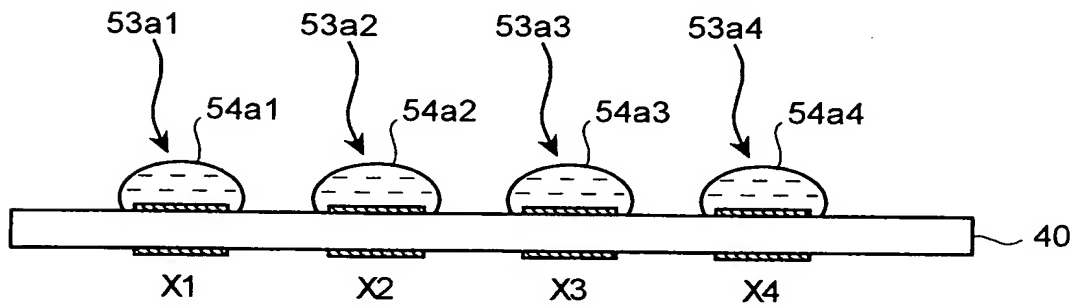


FIG.25

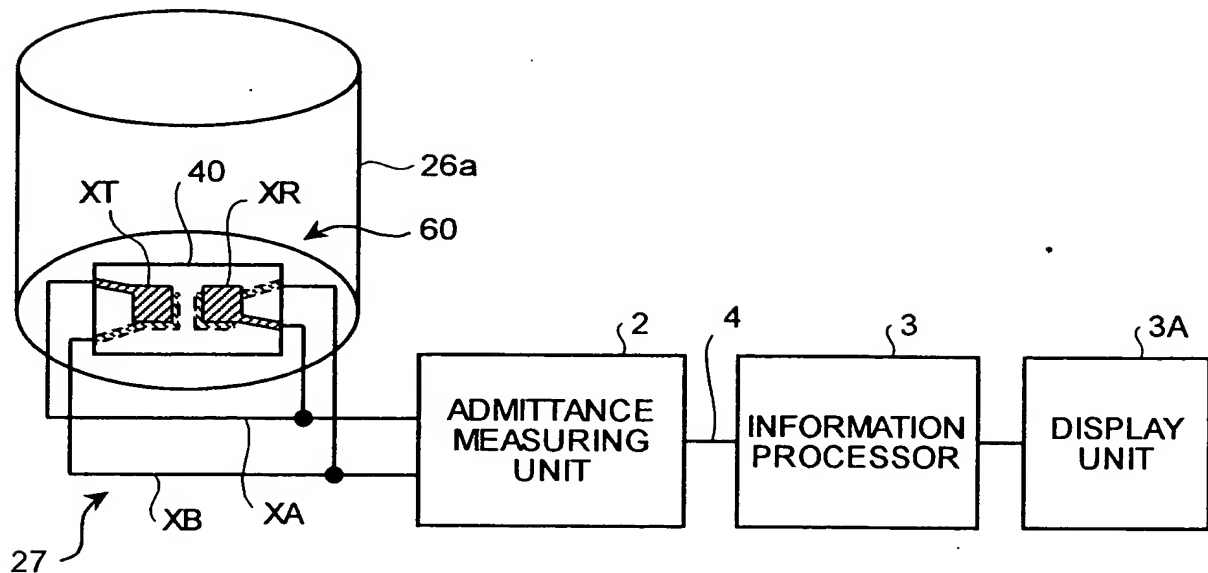


FIG.26

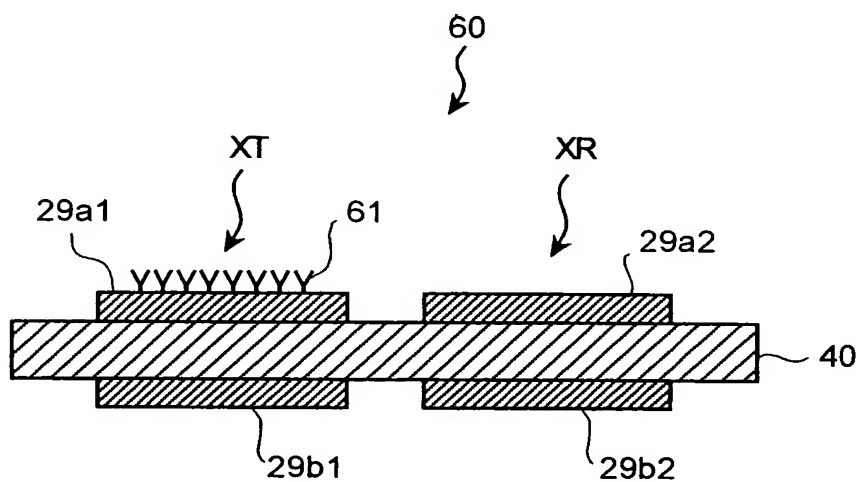


FIG.27

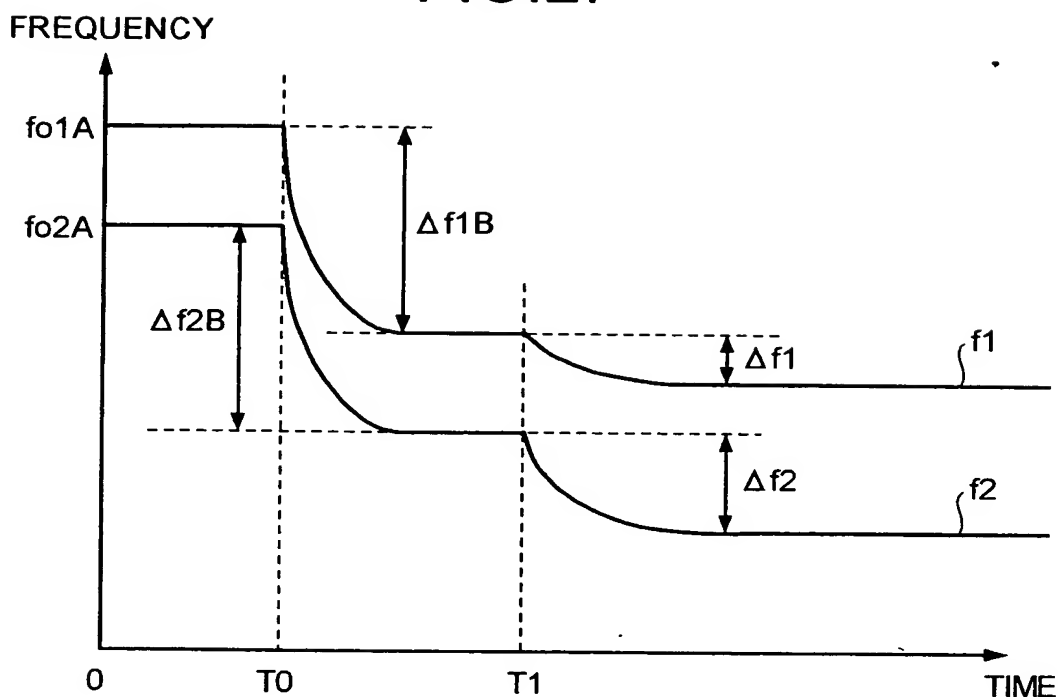


FIG.28

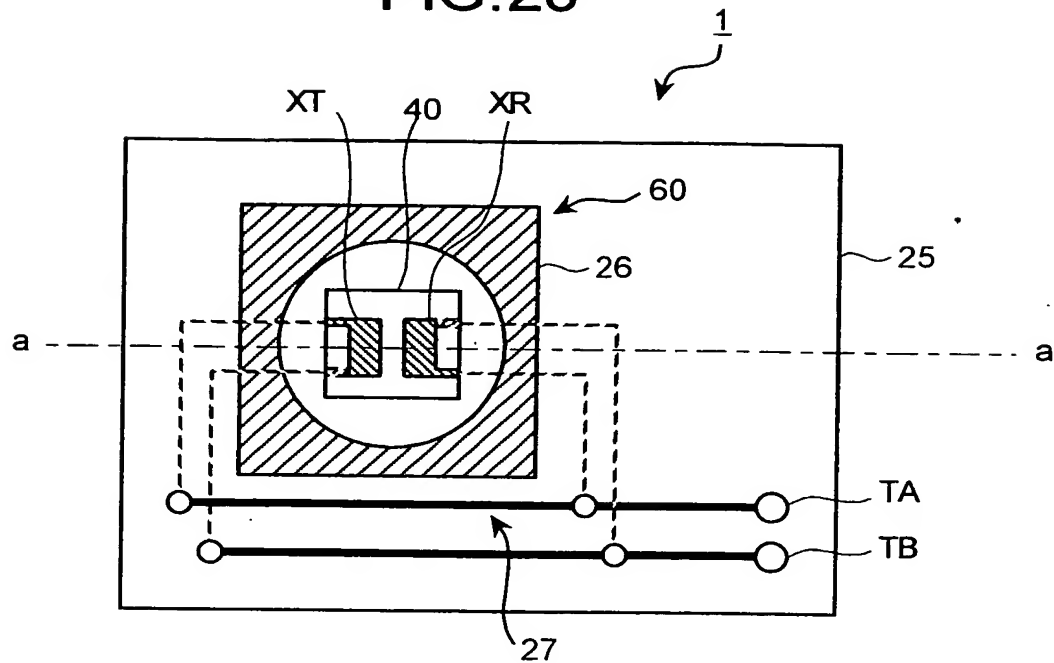


FIG.29

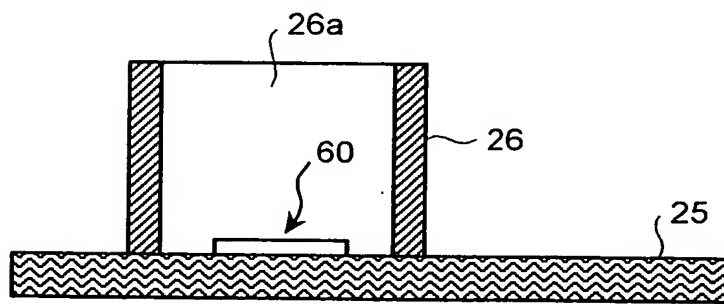


FIG.30

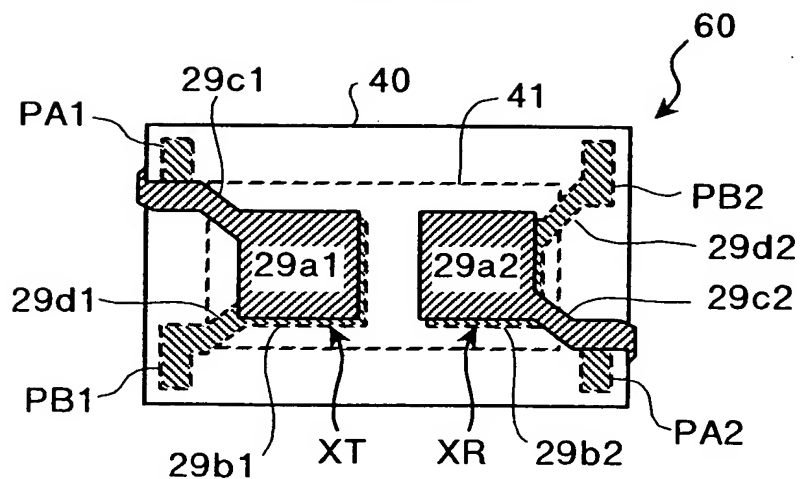


FIG.31

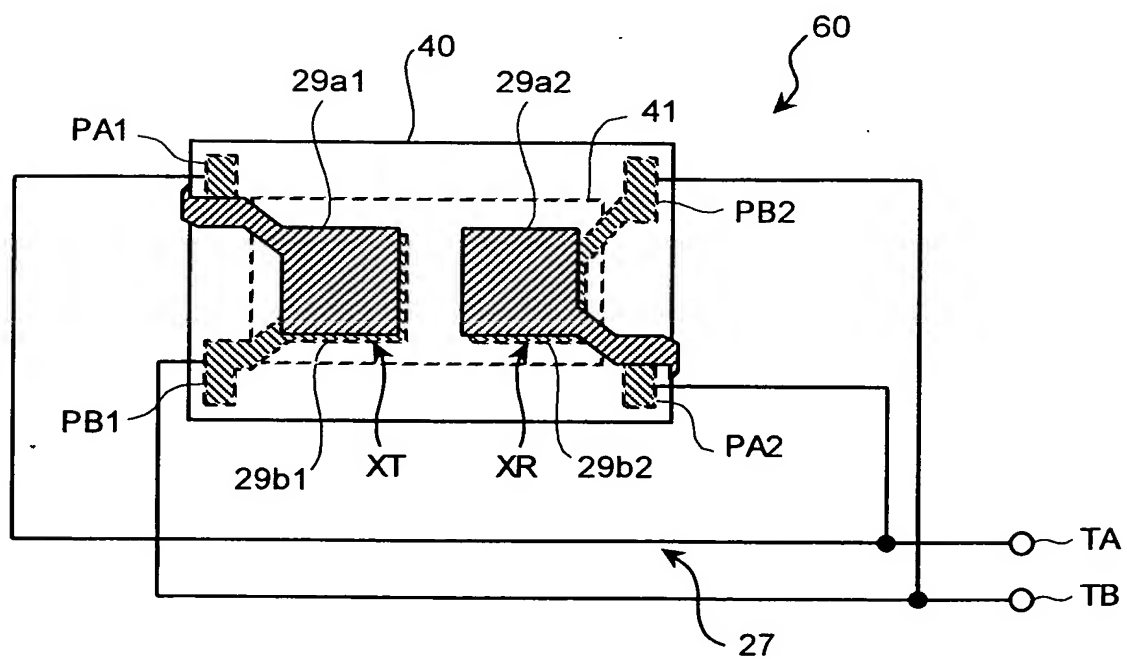


FIG.32

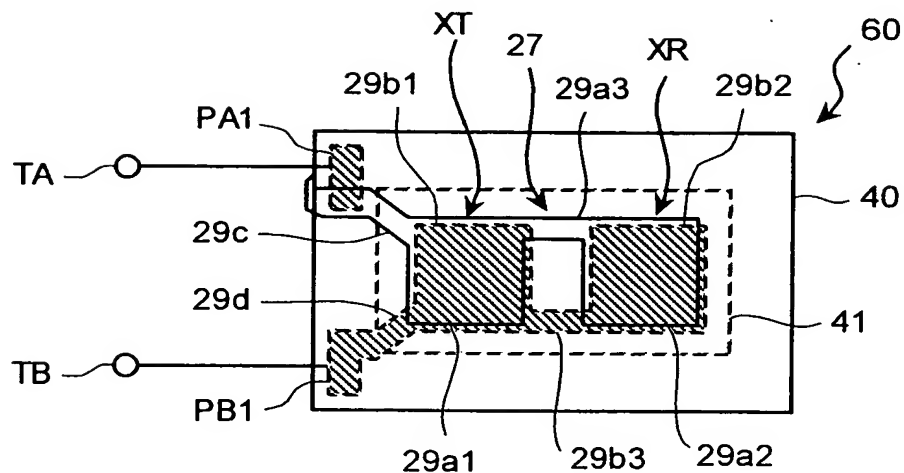


FIG.33

